

DE LA RECHERCHE À L'INDUSTRIE



CADARACHE

www.cea.fr

Loi de comportement micro-macro pour les combustibles oxydes mixtes Uranium - Plutonium

R. Masson (1), B. Seck (1,2)

(1) CEA, DEN, Fuel Studies Department

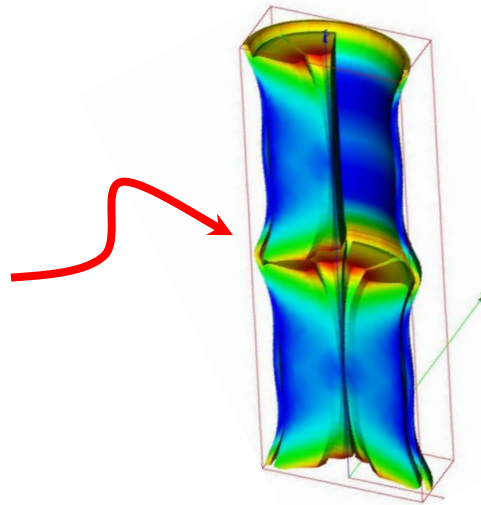
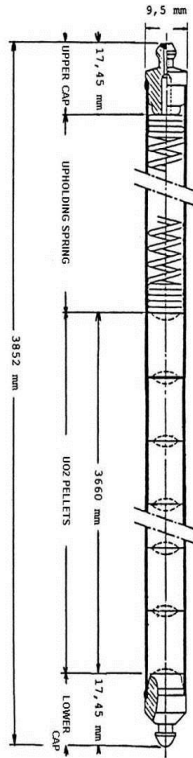
(2) Aix-Marseille-Université, LMA-CNRS

CLUB U MFRONT, 20 mai 2016

PLAN DE L'EXPOSE

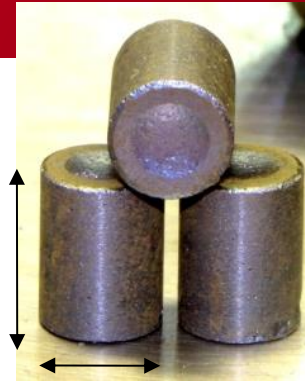
- I. Problématique, les combustibles MOX
- II. Un peu d'homogénéisation
- III. Loi de comportement micro-macro pour le MOX
- IV. Intégration MFRONT

PROBLÉMATIQUE, LES COMBUSTIBLES MOX



Fuel Element, 3D PLEIADES (ALCYONE)
Simulation
Of pellet-cladding interactions

13.46 mm

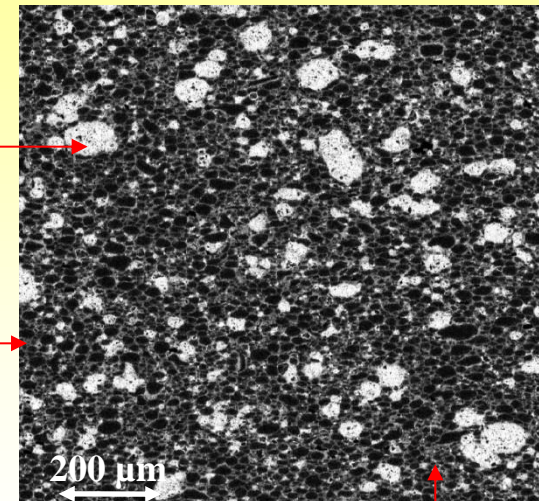


8.192 mm

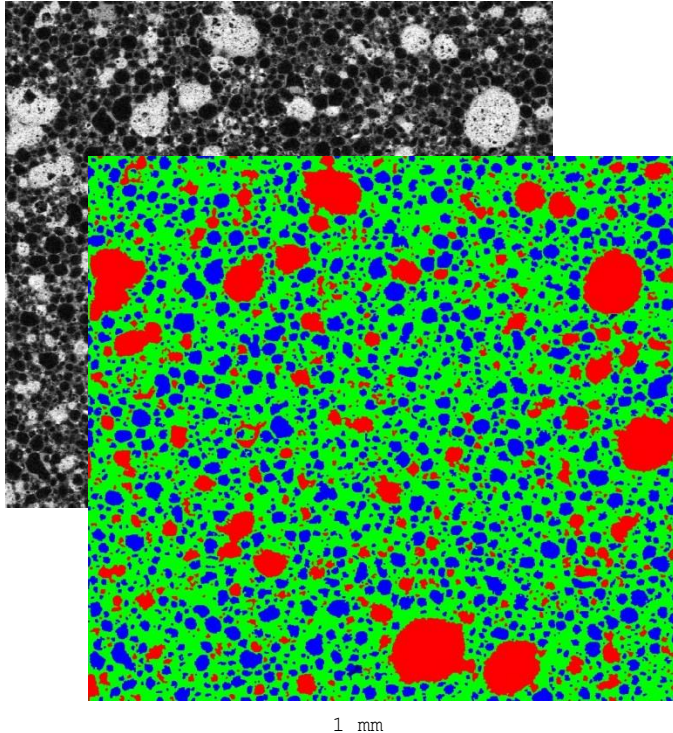
MOX ADU : une distribution hétérogène en Pu

Amas
plutonifère

Amas
uranifère



Enrobage



Matériau hétérogène :

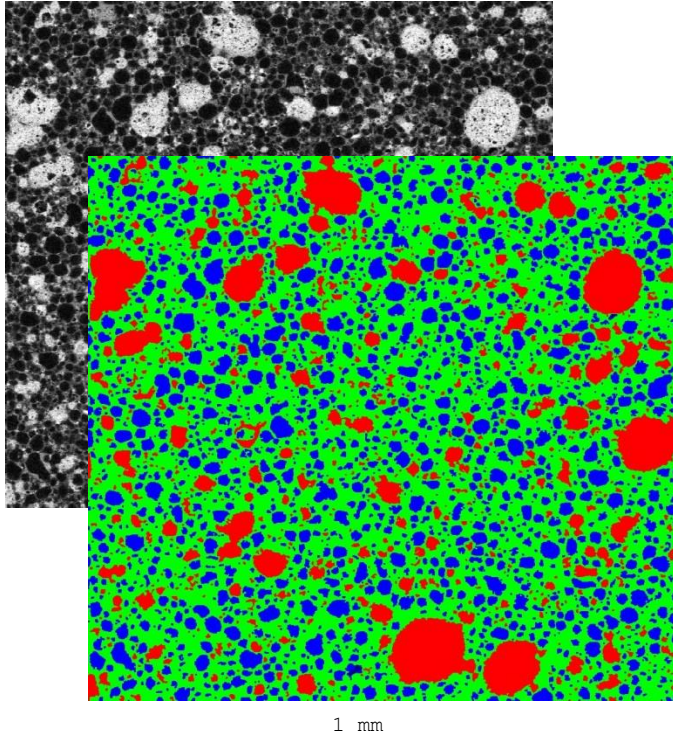
- Morphologie :
3 phases distribuées aléatoirement
Une phase continue (matrice)

Type : **matrice – inclusions (70/30)**

- Comportement des phases :
Élasticité homogène

$$\dot{\varepsilon}(x, t) = \frac{1}{2\mu^e} \dot{\sigma}(x, t)$$

$$\dot{\varepsilon}_m(x, t) = \frac{1}{3k^e} \dot{\sigma}_m(x, t)$$



Matériau hétérogène :

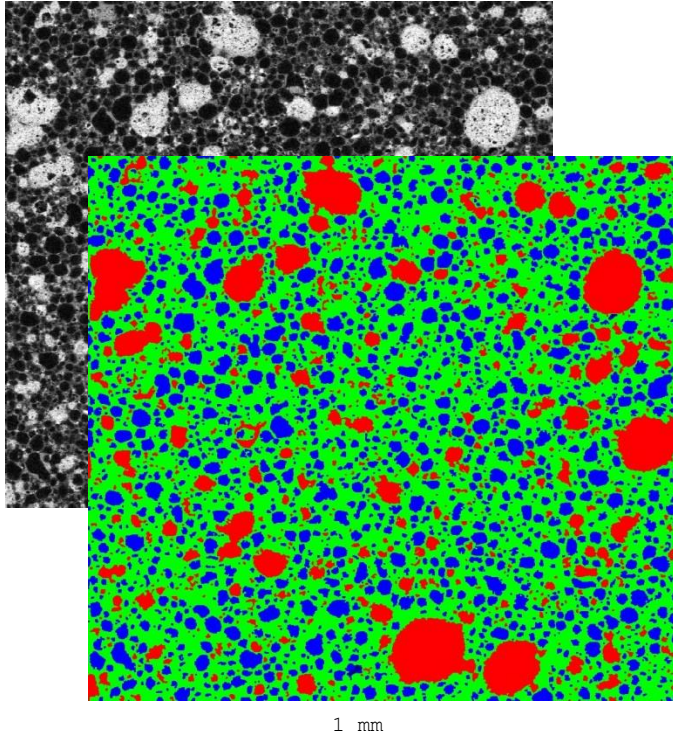
- Morphologie :
3 phases distribuées aléatoirement
Une phase continue (matrice)

Type : **matrice – inclusions (70/30)**

- Comportement des phases :
Élasticité homogène
Fluage d'irradiation hétérogène

$$\dot{\underline{\underline{\varepsilon}}}(x, t) = \frac{1}{2\mu^e} \dot{\underline{\underline{s}}}(x, t) + \frac{1}{2\underline{\underline{\mu}}_i^v} \underline{\underline{s}}(x, t).$$

$$\dot{\varepsilon}_m(x, t) = \frac{1}{3k^e} \dot{\sigma}_m(x, t).$$



Matériau hétérogène :

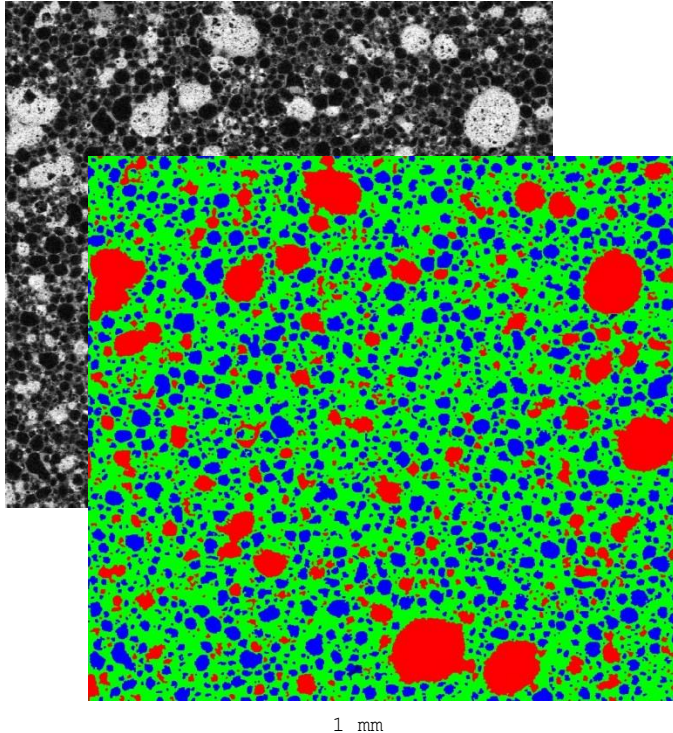
- Morphologie :
3 phases distribuées aléatoirement
Une phase continue (matrice)

Type : **matrice – inclusions (70/30)**

- Comportement des phases :
Élasticité homogène
Fluage d'irradiation hétérogène
Gonflement induit par l'irradiation hétérogène

$$\dot{\underline{\underline{\varepsilon}}}(x, t) = \frac{1}{2\mu^e} \dot{\underline{\underline{s}}}(x, t) + \frac{1}{2\underline{\underline{\mu}}_i^v} \underline{\underline{s}}(x, t).$$

$$\dot{\underline{\underline{\varepsilon}}}_m(x, t) = \frac{1}{3k^e} \dot{\underline{\underline{\sigma}}}_m(x, t) + \underline{\underline{\dot{\varepsilon}}}_{m(i)}^g(x, t)$$



Matériau hétérogène :

- Morphologie :
3 phases distribuées aléatoirement
Une phase continue (matrice)

Type : **matrice – inclusions (70/30)**

- Comportement des phases :
Élasticité homogène
Fluage d'irradiation hétérogène
Gonflement induit par l'irradiation hétérogène
Propriétés dépendent du temps (température, taux de fission, ...)

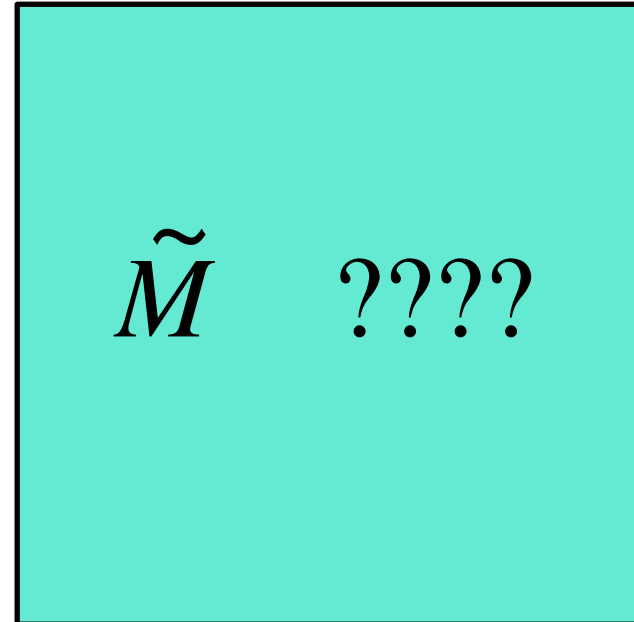
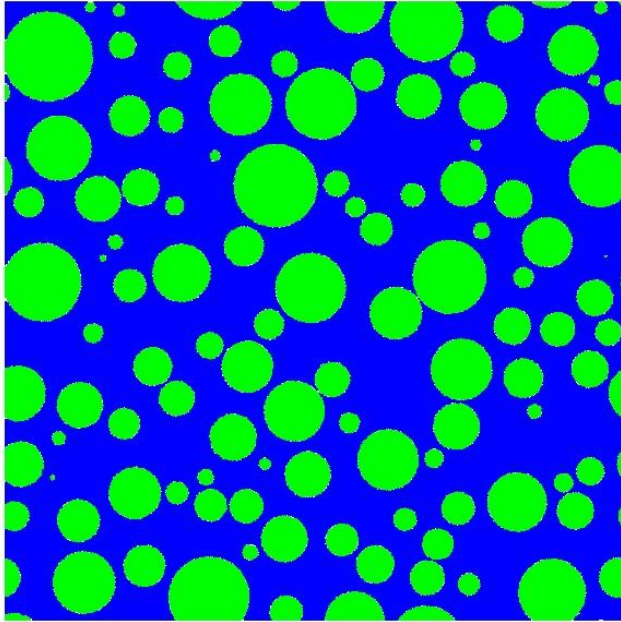
$$\dot{\underline{\underline{\varepsilon}}}(x, t) = \frac{1}{2\mu^e} \dot{\underline{\underline{s}}}(x, t) + \frac{1}{2\underline{\underline{\mu}}_i^v} \underline{\underline{s}}(x, t).$$

$$\dot{\varepsilon}_m(x, t) = \frac{1}{3k^e} \dot{\sigma}_m(x, t) + \underline{\underline{\dot{\varepsilon}}_{m(i)}^g}(x, t)$$

Nature : **thermo-viscoélastique linéaire vieillissant**

Un peu d'homogénéisation (...)

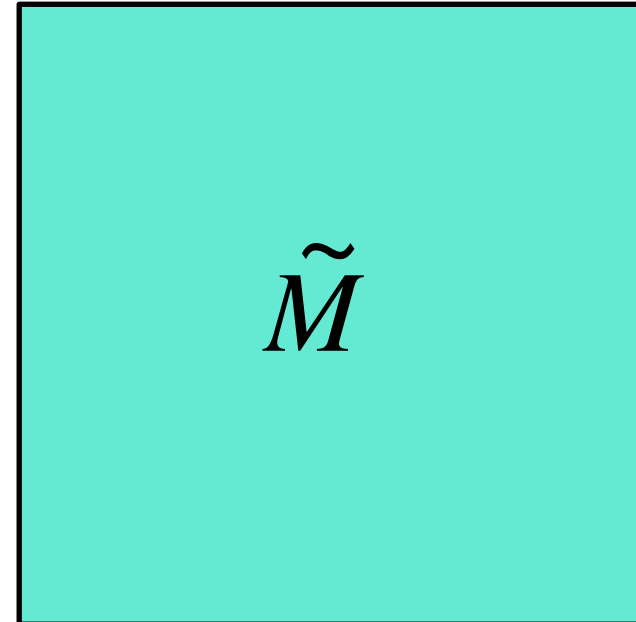
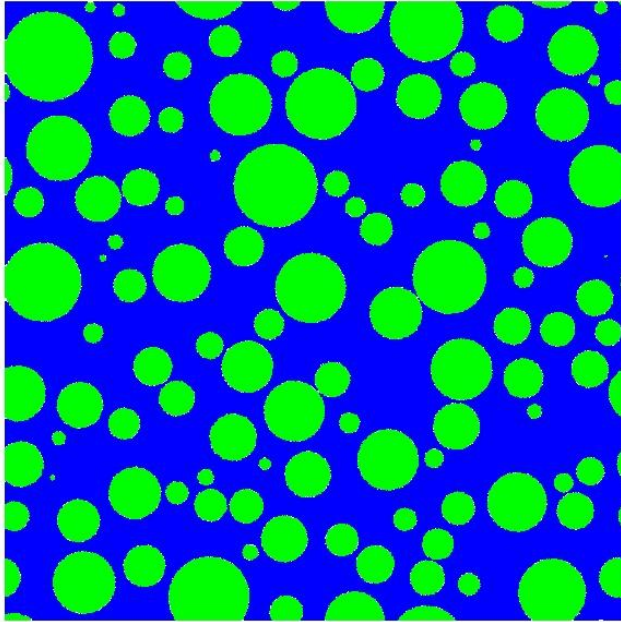
Homogénéisation en élasticité linéaire



M_1

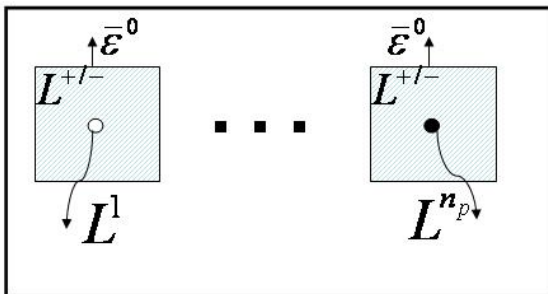
M_2

Homogénéisation en élasticité linéaire



M_1

M_2



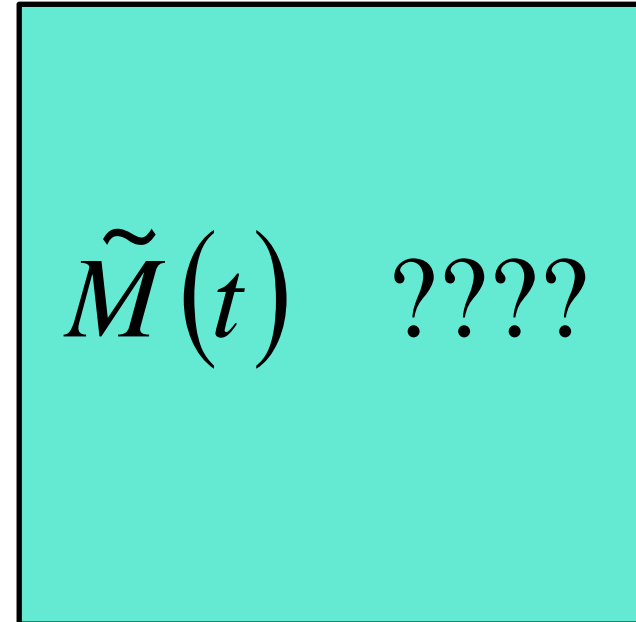
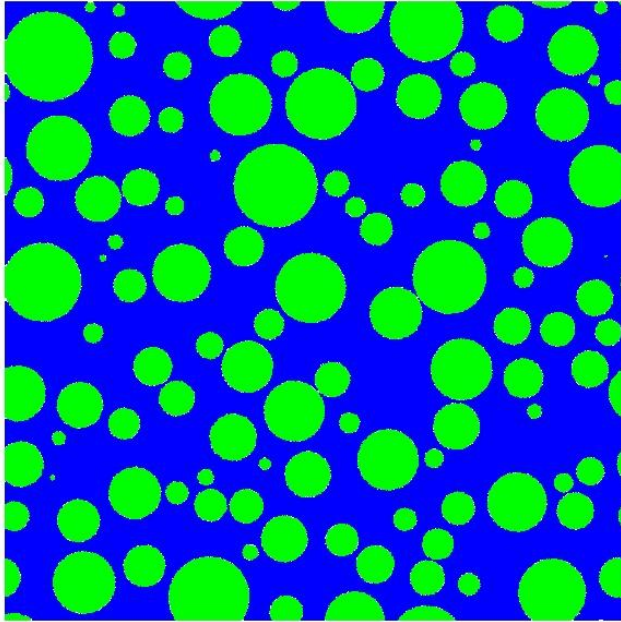
Bornes de Hashin-Shtrikman

Modèle (Mori-Tanaka, 1973)

- Fraction volumique d'inclusions inférieure à 20-30%
- Distribution isotrope des inclusions dans la matrice

... équivalent borne Hashin et Shtrikman (1963)

Homogénéisation en viscoélasticité linéaire



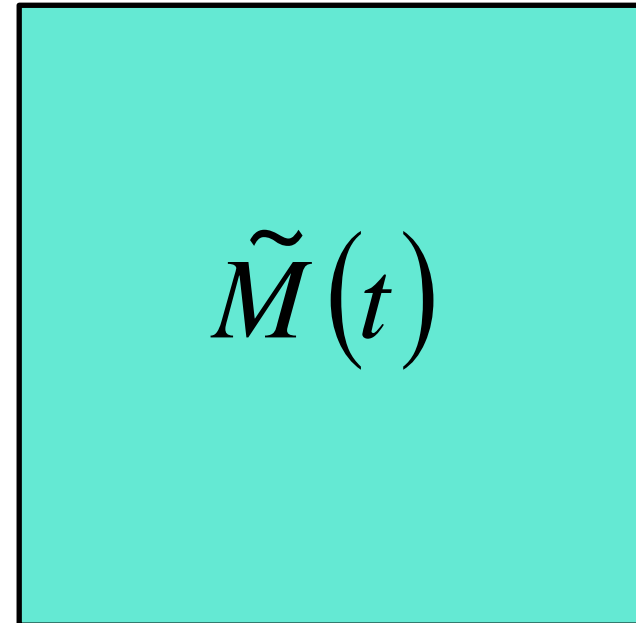
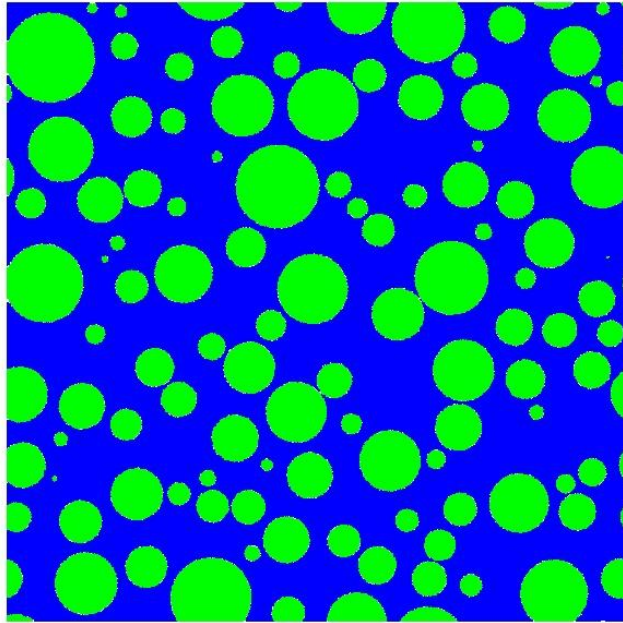
$$M_1(t)$$

$$M_2(t)$$

Exemple (Maxwell) :

$$M_i(t) = M_i^e + M_i^v t$$

Homogénéisation en viscoélasticité linéaire



$$M_1(t)$$

$$M_2(t)$$

Théorème de correspondance (Mandel, 1966)

Transformée de Laplace

-> Milieu pseudo élastique

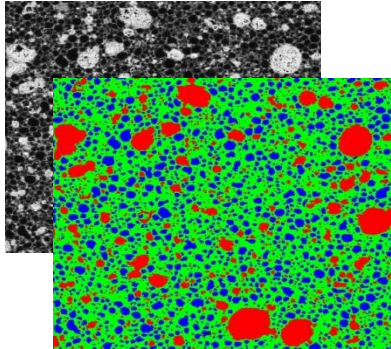
Homogénéisation en linéaire

-> Exemple : Mori-Tanaka (Wang et weng, 1992)

Représentation par variables internes (Ricaud et Masson, 2009)

-> Comportements vieillissants

(...) une loi de comportement micro-macro



1 mm

Composite particulaire isotrope (3 phases) :

$$\bar{s}(t) = 2 \int_0^t \bar{\mu}(t-u) \dot{\bar{e}}(u) du$$

Fonction de relaxation – Prony :

- Comportement Maxwell
- Estimation de Mori-Tanaka

$$\bar{\mu}^*(p) \text{ rational function of } (p) \rightarrow \bar{\mu}(t) = \sum_{i=1}^6 \mu_{\tau_i^d} e^{-\frac{t}{\tau_i^d}}$$

Equivalence (exacte) formulation à VI :

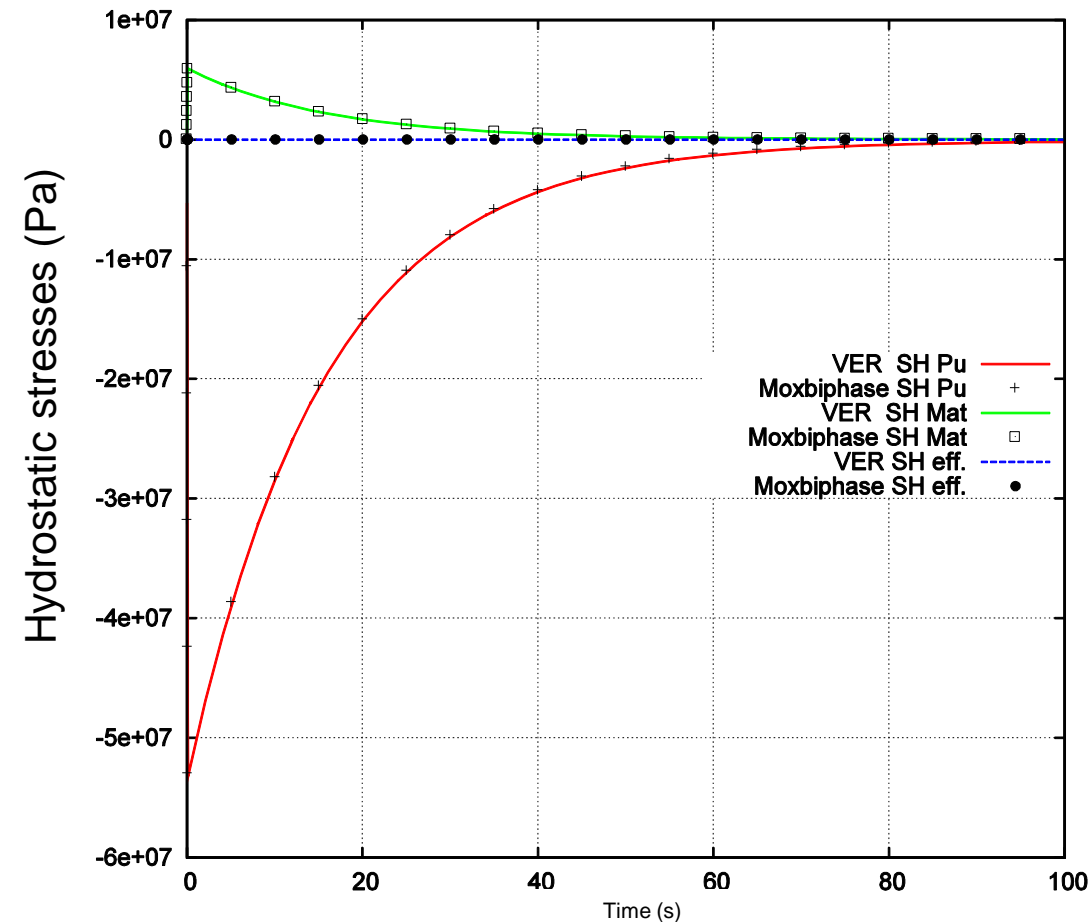
$$\bar{s}(t) = 2\mu^e \left(\bar{e}(t) - \sum_{i=1}^6 \alpha_{\tau_i^d}^d(t) \right)$$

$$\dot{\alpha}(t) + \frac{1}{\tau_i^d} \alpha(t) = \frac{1}{\tau_i^d} \frac{\mu_{\tau_i^d}}{\mu^e} \bar{e}(t) \quad 1 \leq i \leq 6$$

Loi de comportement micro-macro pour les MOX, comparaisons calculs en champ complets

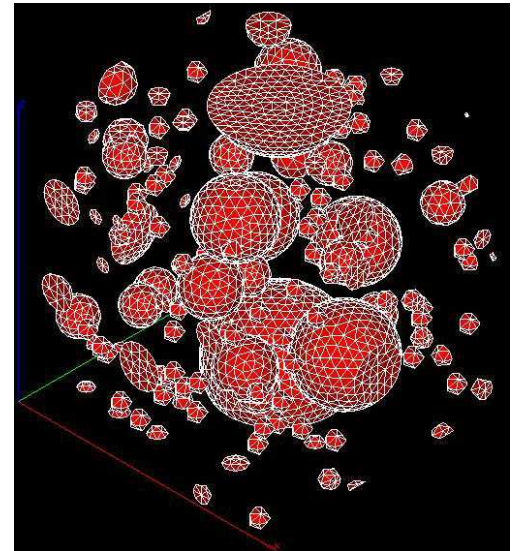
Free swelling of a RVE

- Two-phases composite,
- 15% inclusions (uniform swelling)



Full field calculations :

- 120 inclusions poly-dispersed ($10-70 \mu\text{m}$) ;
- FE (CAST3M)/FFT



*Thèse R. Largenton, 2012
Application VER-PLEIADES*

Extension aux situations transitoires

Fluage « thermique » prépondérant

$$\dot{\underline{\underline{\epsilon}}}(x, t) = \frac{1}{2\mu^e} \dot{\underline{\underline{s}}}(x, t) + \frac{1}{2\mu_i^v} \underline{\underline{s}}(x, t) + \dot{\epsilon}_0(T) [\sigma_{eq}(x, t)]^{2,67} \underline{\underline{s}}(x, t)$$

$$\approx \frac{1}{2\mu^e} \dot{\underline{\underline{s}}}(x, t) + \frac{1}{2\mu_i^v} \underline{\underline{s}}(x, t) + \frac{1}{2\mu_i^{th}(\sigma_{S(i)})} \underline{\underline{s}}(x, t)$$

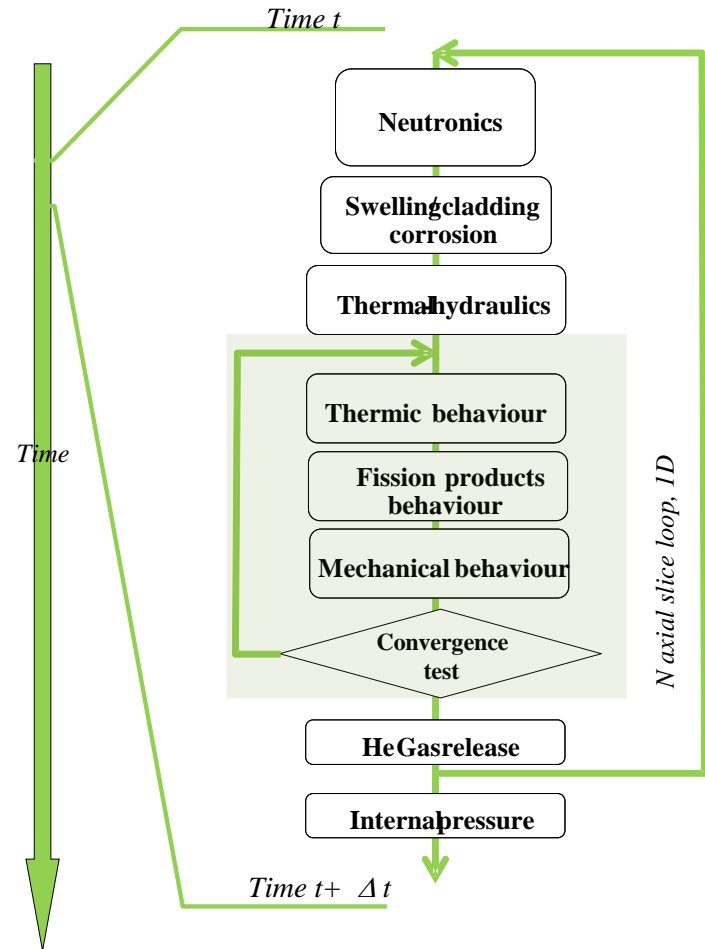
Contraintes de référence par phase ?

$$\sigma_{S(incl)}(t) = \sqrt{\frac{3}{2} \langle s_{ij}(t) \rangle_I \langle s_{ij}(t) \rangle_I} \quad \sigma_{S(matrix)}(t) = \sqrt{\frac{3}{2} \langle s_{ij}(t) s_{ij}(t) \rangle_m}$$

Intégration code crayon - couplages

■ Modèles de comportement des gaz de fission (boucle multi-physique)

■ Fissuration (1,5D)



Méthode implicite

- Vecteur inconnu de dimension 12 (représentation 3-phases) :

$$\left\{ \Delta \underline{\varepsilon}^{el}, \Delta \varepsilon_i^{fis}, \Delta e_I = \frac{1}{\mu^e} \sigma_{s(I)} \right\}$$

Dans MFRONT (parser = implicit)

- Une douzaine de propriétés matériaux (MaterialProperty)
- 7 chargements : T, gonflements et densités de fission par phase (ExternalStateVariable)
- Près de 100 scalaires en sortie

Les 12 inconnues (StateVariable)

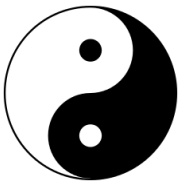
Des variables auxiliaires (les contraintes moyennes par phase, ...) – AuxiliaryStateVariable

Loi intégrée dans ALCYONE

- Ancien format (UMAT-CAST3M) depuis 2009
- Format MFRONT depuis janvier 2016
- Trois échelles simulées : crayon, pastilles et phases

De façon générale

- Enfin, un outil OpenSource de mutualisation des lois de comportement entre codes de simulation en mécanique
- Application immédiate autour des codes combustibles (approche multi-échelle)



... attention aux dangers du plug and play

Dans le détail, j'ai apprécié

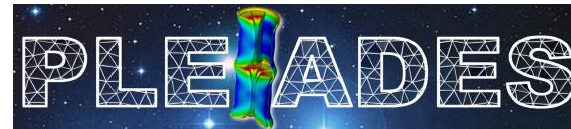
- La prise en main rapide de l'outil, sa robustesse
- La représentation « objet » des différentes variables, les vecteurs de variables internes (lisibilité du code)
- L'include de sources c/c++ (Homogénéisation)
- Test intégré des composantes (144!!) du Jacobien analytique / numérique (--@CompareToNumericalJacobian=true)
- MTEST : simplicité, mutualisation des tests possibles, ...
- MTEST : l'option --UMATGenerateMTestFileOnFailure=true

Suggestions

- MFRONT : une mutualisation de la fissuration (application combustibles)
- MFRONT : Un Jacobien numérique par blocs
- MTEST / Test<file> : comparaison à des valeurs de référence s'appuyant sur des instants différents

CEA – DEN Fuel Department Study

- Modeling, Full Fields calculations: JM Ricaud, V. Blanc, L. Barbie, E. Castelier
- Software Integration (PLEIADES/MFRONT): B. Michel, T. Helfer, V. Marelle, I. Ramière, P. Goldbronn
- Validation: A. Bouloire, L. Noirot



EDF R&D

- Modelling and Full Field Calculations: R. Largenton



LMA – CNRS / AMU

- Modeling, second-order moments computation: N. Lahellec, P. Suquet, JC Michel
- Jacobian calculation (B. Seck)

Institut d'Alembert (UPMC), PIMM (ENSAM)

- Modeling polycrystalline microstructures: R. Brenner, O. Castelnau

Financial support

- OXYDES and PLEIADES Projects (EDF-AREVA-CEA)